

슬라이딩 모드를 이용한 매니퓰레이터의 과정추종제어

전 학 영. 박 귀 태. 곽 군 평. 김 동 식*

고려대학교 공과대학 전기공학과

The Tracking Control of Manipulator using Sliding Mode

Hee Young Chun. Gwi Tae Park. Chun Ping Kuo. Dong Sie Kim*.
Dept. of Electrical Eng. Korea Univ.

Abstract

A new control scheme is developed to achieve fast and accurate decoupled tracking for an n-Joint robotic manipulator in the presence of disturbances and unknown parameter variations. The control system is designed so that a new type of state trajectories called sliding mode may exist in a phase plane.

In order to remove the reaching phase and high frequency chattering phenomenon which are the common shortcomings of variable structure control (VSC) scheme, this paper presents the new switching line which is composed of three segments and the continuous control law which is derived from the existence condition of a sliding mode.

The proposed methods in this paper are applied to a 3-Joint robotic manipulator as a numerical example. The digital simulation results which are compared with those of typical VSC scheme show the validity of accurate tracking capability and robust performance of the system.

1. 서 론

현재 사용되고 있는 자동화기구는 미리 정해진 기능만을 수행하지만, 로보트 매니퓰레이터는 상반이나 조로작업등에 적은 경비로 다양한 기능을 수행할 수 있기 때문에 현대 자동화분야에서 로보트 매니퓰레이터의 사용은 점차로 확대되어 가고 있는 추세이다.

그러나, 다른점 로보트 매니퓰레이터는 각 관절간의 비선형 상호작용을 갖는 강연진 비선형기구이다. 따라서, 로보트 매니퓰레이터가 작업공간에서 미리 기록된 궤적을 정확하게 추종하기 위해서는 각 관절간의 비선형 상호작용을 고고적으로 보상하고, 미지의 파라미터 변동이나 조절량의 불확실성에 대한 견고성(robustness)을 보장받을 수 있는 제어법칙을 선정해야 한다.

이를 실현하기 위해 기동의 파라미터 변동이나 외란에 대한 통제적인 정보는 모른다하더라도 그 헌법적인 알고 있으면 확장적인 방법에 의해 제어기를 설계할 수 있는 가변구조제어(variable structure control)이론이 제시되었다.[1][2][3]

이 제어법은 다른 적용제어법에서처럼 미지의 파라미터를 추정해야 할 필요가 없을 뿐만 아니라 물리적인 상관이 간단하기 때문에 실시간제어(real-time control)에 유리하다는 장점을 가지고 있다. 또한, 기동을 슬라이딩 모드라는 특이한 동작상태에 머무르도록 제어법칙을 발상시켜줌으로써 기동의 용접의 속용성과 파라미터 변동이나 외란에 대한 탄감성을 동시에 얻을 수 있다.[4][5]

그러나, 이 제어법은 상태의 초기위치가 스위칭 평면(switching hyperplane)에서 벗어나 있을 경우, 기동의 상태가 스위칭 평면에 도달하기까지의 기간(reaching phase)에는 슬라이딩 모드가 발생하지 않기 때문에 기동의 용접은 파라미터 변동이나 외란에 민감하게 되며, 또한 스위칭 소자의 시간지연으로 인해 제어 입력이 불연속으로 되어 상태제어의 진동(chattering)이 발생하게 되는등 좋지 못한 특성을 지닌다.[6]

따라서, 본 논문에서는 이러한 단점을 개선하기 위해 먼저, 슬라이딩 모드의 존재조건으로부터 유도된 새로운 연속제어법칙을 도입하여 상태제어의 진동을 제거하고, 또한 상태의 초기치로부터 원점에 이르는 3개의 스위칭 평면을 설정하여 각 스위칭 평면에서 슬라이딩 모드를 발생시켜 도달기간(reaching phase)을 원전히 제거하고자 한다.

2. 로보트 매니퓰레이터의 운동방정식

일반적으로 자유도가 n인 매니퓰레이터의 운동방정식은 다음과 같은 Lagrange-Euler 형식으로 표현된다.[7]

$$R(\theta)\ddot{\theta} + M(\theta)\dot{\theta} + g(\theta) = u \quad (1)$$

$$\dot{\theta} = (\dot{\theta}_1, \dots, \dot{\theta}_n, \dot{\theta}_2, \dots, \dot{\theta}_n \dot{\theta}_n)^T$$

$$g = (\partial P / \partial \theta, \dots, \partial P / \partial \theta)^T, \quad P: P.E.$$

$$M = (m_{ij})_{n \times L} \quad L = n(n+1)/2$$

(1)에서 관성행렬 $R(\theta)$ 의 비대각요소는 각 관절간의 상호작용을 나타내며 $M(\theta)$ 와 $g(\theta)$ 는 코리올리의 힘과 원심력을 나타내며 $u(\theta)$ 는 중력으로 인한 힘을 나타낸다.

매니퓰레이터가 작업을 수행하는 동안 작업공간에서의 궤적을 연속적으로 부드럽게 추종할 수 있도록 고적률 거래(4-3-4) 다양식 고적기법[8]하고, 상태벡터를 $x = (e, w)^T$ 로 정의하면 (1)을 다음과 같은 상태방정식으로 변환할 수 있다.

$$\begin{cases} e_i = w_i \\ w_i = f_i(e + \theta_d, w + \dot{\theta}_d) + b_i(e + \theta_d)u - \ddot{\theta}_d \\ i=1, 2, \dots, n \end{cases} \quad (2)$$

$$f(\theta, \theta_d) = -R^{-1}(\theta)(M(\theta)q + g(\theta))$$

$$B(\theta) = R^{-1}(\theta) = (b_1, b_2, \dots, b_n)^T$$

$$e = \theta - \theta_d, w = \dot{\theta} = \dot{\theta} - \dot{\theta}_d$$

$$u = (u^1, u^2, \dots, u^n)^T, f = (f_1, f_2, \dots, f_n)^T$$

3. 기본구조제어(VSC) 이론

기본구조제어에서 제어입력은 스위칭 평면에서 스위칭 논리에 따라 기동의 구조를 변화시킨다. 이 기본구조제어함수에 따라 상태공간의 어떤 위치에서도 상태는 스위칭 평면을 향하게 되며, 일단 기기에 도달하게 되면 그 평면을 따라 이동하게 되는데 이러한 현상을 슬라이딩 모드(sliding mode)라 한다.

(1)식과 같이 표현되는 자유도가 n 인 매니퓰레이터를 상상하자. 관절 회전각(joint angle)과 회전 각속도(joint angular velocity)의 값이 직접 측정 가능하므로 기본구조제어함수에 의해 주어진 초기상태 $\theta, \dot{\theta}, \theta_d, \dot{\theta}_d (t=t_0)$ 에 대해 $(e, w) \rightarrow 0$ 을 만족하도록 제어입력을 결정하면

$$\begin{aligned} \pi &= g(\theta) + R(\theta)(\ddot{\theta}_d - C\dot{\theta} + \Gamma q) \\ C &= \text{diag}(C_1, C_2, \dots, C_n) \\ \Gamma &= (\Gamma_{ij})_{n \times L} \end{aligned} \quad (3)$$

(3)을 (1)에 대입하여 정리하면

$$R(\theta)(\ddot{\theta} + C\dot{\theta}) = R(\theta)(\Gamma - R^{-1}(\theta)M(\theta))q \quad (4)$$

$R(\theta)$ 는 정칙(nonsingular)행렬이므로

$$\begin{aligned} \ddot{\theta} + C\dot{\theta} &= (\Gamma - M'(\theta))q \\ M'(\theta) &= R^{-1}(\theta)M(\theta) = (m'_{ij})_{n \times L} \end{aligned} \quad (5)$$

스위칭 표면행렬을 C 라 하면 i 번째 스위칭 평면은 다음과 같이 설정할 수 있다.

$$e_i(e_i, w_i) = w_i + c_i e_i, i=1, 2, \dots, n \quad (6)$$

i 번째 스위칭 평면((e_i, w_i) -공간)에서 슬라이딩 모드가 발생할 조건은 다음과 같다.

$$\lim_{\theta \rightarrow 0} e_i \dot{e}_i < 0 \quad (7)$$

슬라이딩 모드가 발생하면 기동의 상태는 스위칭 평면(6)을 따라 움직이도록 저항도므로 다음의 슬라이딩 방정식을 만족하게 된다.

$$\dot{e}_i = -c_i e_i \quad (8)$$

방정식(8)은 매니퓰레이터의 n 개의 각 관절에 대해 성립하므로, 일단 슬라이딩 모드가 발생하게 되면 매니퓰레이터에 존재하는 각 관절의 비선형 상호작용이 완전히 제거된다. 기동의 응답은 스위칭 표면행렬에만 의존하게 되어 파라미터의 변동이나 외란에 둔감하게 된다.

그로해, $M(\theta)$ 는 관절 회전각 θ 만의 함수이므로 각 성분의 경계값을 미리 계산할 수 있으므로 다음을 가정한다.

$$\inf_{\theta} [m'_{ij}(\theta)] \leq m'_{ij}(\theta) \leq \sup_{\theta} [m'_{ij}(\theta)]$$

(5)와 (8)에 의해

$$\sum_{j=1}^L (r_{ij} - m'_{ij}) q_j \dot{e}_i < 0 \quad i=1, 2, \dots, n$$

따라서, 스위칭 이득 r_{ij} 는 다음과 같이 구해졌다.

$$r_{ij} = \begin{cases} r_{ij}^+ > \sup_{\theta} [m'_{ij}(\theta)], q_j \dot{e}_i < 0 \\ r_{ij}^- < \inf_{\theta} [m'_{ij}(\theta)], q_j \dot{e}_i > 0 \end{cases}$$

그림 1에 본 알고리즘(일고리즘 I)에 대한 블록선도를 도시하였다.

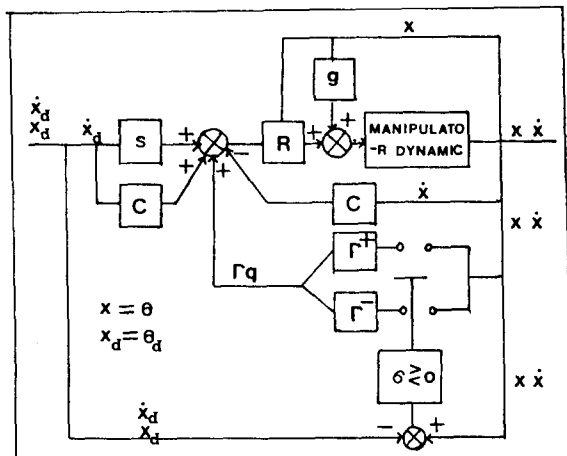


FIG. 1 Block diagram of the sliding mode control system (ALGO. I)

4. 새롭게 제안된 알고리즘(일고리즘 II)

기본구조제어함수는 매니퓰레이터의 경로제어에 적용하는 경우, 상태의 초기 위치로부터 스위칭 평면에 도달하기까지는 슬라이딩 모드가 발생하지 않으므로 기동의 응답은 외란이나 파라미터의 변동에 민감하게 된다. 또한, 슬라이딩 모드를 일으키기 위한 제어입력은 스위칭 소자의 시간자연이나 모질면서 무시된 작은 시정수동으로 인해 불연속이므로 상태변화의 진동현상이 발생된다. 이를 제거하기 위해, 매니퓰레이터의 운동특성에 일맞은 3개의 스위칭 평면을 설정하고, 슬라이딩 모드의 존재조건으로부터 유도된 새로운 연속적 제어입력에 의해 각 스위칭 평면에서 슬라이딩 모드를 일으킨다.

4-1. 스위칭 평면의 설정

도달기간을 제거하기 위해 작업공간에서의 매니퓰레이터의 운동특성에 적합한 3개의 스위칭 평면을 설정한다.

먼저, (e_i, w_i) -공간에서 스위칭 평면을 설정하기 위하여 다음과 정의한다.

$$\begin{aligned} S_j^1 &= (e_i, w_i) - \text{공간에서 정의된 } j \text{ 번째 스위칭 평면} = R O W_i(S_j) \\ S_j &= n \text{개의 } (e_i, w_i) - \text{공간에서 각각 정의된 } j \text{ 번째 스위칭 평면들로 구성된 열벡터} \\ S_j &= (S_j^1, S_j^2, \dots, S_j^n)^T, j=1, 2, 3 \end{aligned}$$

위의 정의에 의해

$$S_1 = (S_1^1, S_1^2, \dots, S_1^n)^T, S_1^i = w_i - a_i e_i + a_i e_{i0}$$

$$S_2 = (S_2^1, S_2^2, \dots, S_2^n)^T, S_2^i = w_i + b_i \quad (9)$$

$$S_3 = (S_3^1, S_3^2, \dots, S_3^n)^T, S_3^i = w_i + c_i e_i$$

여기서 a_i, b_i, c_i 는 일의 상수이다.

(9)를 Kronecker delta 이용하여 정리하면

$$S_j^i = w_i - (a_i e_i - a_i e_{i0}) d_{1j} + b_i d_{2j} + c_i e_i d_{3j}$$

$$d_{ij} = \begin{cases} 1, & i=j \\ 0, & i \neq j \end{cases}$$

$$i=1, 2, \dots, n \quad j=1, 2, 3$$

4-2. 각 스위칭 평면에서의 연속치 제어입력의 결정

n 개의 (e_i, w_i) — 공간에서 각각 정의된 스위칭 평면에서의 스위칭 제어입력을 결정하기 위해 다음을 정의한다.

$$u_j^i = (e_i, w_i) — 공간에서 정의된 j 번째 스위칭 평면에서 매니퓰레이터의 i 번째 관절에 기여하는 연속치 제어입력 = ROW_i(U_j)$$

$$u_j = n \text{ 개의 } (e_i, w_i) — \text{공간에서 각각 정의된 } j \text{ 번째 스위칭 평면에서 매니퓰레이터의 각 관절에 기여하는 연속치 제어입력} \\ u_j = (u_j^1, u_j^2, \dots, u_j^n)^T \quad j = 1, 2, 3$$

위의 정의와 슬라이딩 모드의 존재조건을 이용하여 각 스위칭 평면에 대한 연속치 제어입력을 결정할 수 있다.

4-2-1. 스위칭 평면 $S_1 = (S_1^1, \dots, S_1^n)^T$ 에 대한 제어입력.

스위칭 평면 S_1 을 행렬로 표시하면

$$S_1 = W - aE + aE_0, \quad (10)$$

$$a = \text{diag}(a_1, a_2, \dots, a_n)$$

$$E_0 = (e_{10}, e_{20}, \dots, e_{n0})^T$$

(10)을 미분한 다음 (1)을 이용하면

$$\dot{S}_1 = R^{-1}(\theta)[\pi_1 - M(\theta)q - g(\theta)] - \ddot{\theta}_d - a\dot{E}$$

π_1 에 대해 정리하면

$$\pi_1 = M(\theta)q + g(\theta) + R(\theta)[\ddot{\theta}_d + a\dot{E} + \dot{S}_1] \quad (11)$$

여기서, 슬라이딩 모드의 존재조건인 (7)에 의해 S_1 과 \dot{S}_1 는 부호가 반대이고 P 를 양의 실수를 원소로 가지는 $n \times n$ 대각행렬이라 하면

$$S_j = -P_j S_j \quad i = 1, 2, \dots, n \\ S_j = -P_j S_j \quad j = 1, 2, 3 \quad (12)$$

(12)를 (11)에 대입하면

$$\pi_1 = M(\theta)q + g(\theta) + [\ddot{\theta}_d + a\dot{E} - P_1 S_1]$$

$$\pi_1 = (u_1^1, u_1^2, \dots, u_1^n)^T \quad (13)$$

4-2-2. 스위칭 평면 $S_2 = (S_2^1, \dots, S_2^n)^T$ 에 대한 제어입력

스위칭 평면 S_2 를 행렬로 표시하면

$$S_2 = W + b \quad b = (b_1, b_2, \dots, b_n)^T \quad (14)$$

(14)를 미분한 다음 (1)을 이용하면

$$\dot{S}_2 = R^{-1}(\theta)[\pi_2 - M(\theta)q - g(\theta)] - \ddot{\theta}_d$$

π_2 에 대해 정리하고 (12)를 이용하면

$$\pi_2 = M(\theta)q + g(\theta) + R(\theta)(\ddot{\theta}_d - P_2^2 S_2) \quad (15)$$

4-2-3. 스위칭 평면 $S_3 = (S_3^1, \dots, S_3^n)^T$ 에 대한 제어입력

스위칭 평면 S_3 을 행렬로 표시하면

$$S_3 = W + Ce \quad C = \text{diag}(c_1, c_2, \dots, c_n) \quad (16)$$

(16)을 미분한 다음 (1)을 이용하면

$$\dot{S}_3 = R^{-1}(\theta)(\pi_3 - M(\theta)q - g(\theta)) - \ddot{\theta}_d + C\dot{E}$$

π_3 에 대해 정리하고 (12)를 이용하면

$$\pi_3 = M(\theta)q + g(\theta) + R(\theta)(\ddot{\theta}_d - C\dot{E} - P_3^2 S_3) \quad (17)$$

(13), (15), (17)을 Kronecker delta를 이용하여 정리하면

$$\pi_j = M(\theta)q + g(\theta) + R(\theta)[\ddot{\theta}_d + dy] \quad (18)$$

$$dy = [aw - P^1 S_1] d_{ij} - S_2 P^2 d_{ij} - [Cw + P^3 S_3] \\ \times d_{ij} \quad i = 1, 2, \dots, n \quad j = 1, 2, 3$$

그림2에 (e_i, w_i) — 공간에서 정의된 스위칭 평면과 각 스위칭 평면에서의 슬라이딩 모드를 도시하였으며, 그림3에는 알고리즘 II에 대한 블록도를 나타내었다.

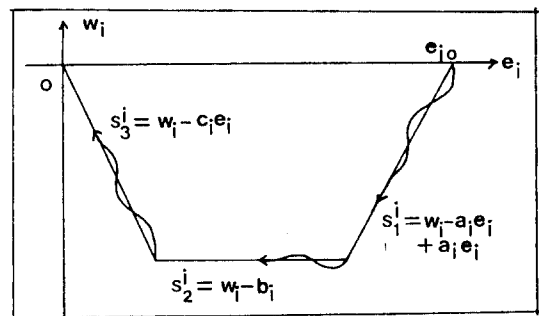


FIG. 2 The sliding mode for the switching hyperplane defined in the (e_i, w_i) -space

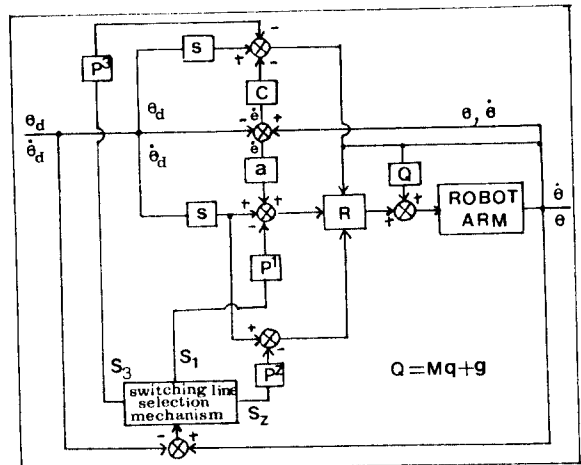


FIG. 3 Block diagram of the sliding mode control system (ALGO. II)

5. 시뮬레이션 연구 및 결과

(1)과 같이 표현되는 자유도가 n 인 매니퓰레이터에 대해 $n=3$ 으로 하여 시뮬레이션하였으며 매니퓰레이터의 각 물리적인 프리미터는 부록 1에 나타나 있다. 상태ベ터 $X = (e_1, e_2, e_3, w_1, w_2, w_3)^T$ 로 정의하면 (19)를 다음과 같은 상태방정식으로 나타낼 수 있다.

$$\dot{e}_1 = w_1$$

$$\dot{e}_2 = w_2$$

$$\dot{e}_3 = w_3$$

$$\dot{w}_1 = -(m_{12}q_2 + m_{13}q_3 + g_1)/r_{11} + u^1/r_{11} - \ddot{\theta}_{d1}$$

$$\dot{w}_2 = -(r_{33}Q_1 + r_{22}Q_2)/D + (r_{33}u^2 - r_{23}u^3)/D - \ddot{\theta}_{d2}$$

$$\dot{w}_3 = (r_{23}Q_1 - r_{22}Q_2)/D - (r_{23}u^2 + r_{22}u^3)/D - \ddot{\theta}_{d3}$$

$$Q_1 = m_{21}q_1 + m_{25}q_5 + m_{26}q_6 + g_2$$

$$Q_2 = m_{31}q_1 + m_{34}q_4 + g_3$$

$$D = r_{22}r_{33} - r_{23}r_{23}$$

마니퓰레이터가 추종해야 할 궤적은 4-3-4 단형식 기계구조법에 의해 계획하고 이를 그림4에 나타내었다.

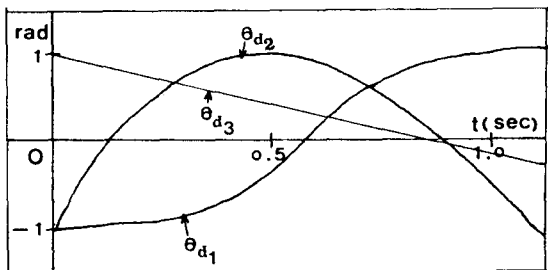


FIG. 4 The desired trajectories of manipulator motion

5-1. 알고리즘 I에 의한 제어

위의 상태방정식에 대해 스위칭 표면행렬 C 를 디각행렬로 산정하면 스위칭 평면 σ 는 다음과 같이 표현된다.

$$\sigma = w + Ce, C = \text{diag}(20, 20, 20)$$

슬라이딩 모드를 일으키기 위한 스위칭 미드행렬 T_{ij} 를 $M(\theta) = R^{-1} \times M$ 으로부터 결정하면

$$T_{ij}^+ = [r_{ij}]_{3 \times 6} = \begin{bmatrix} 0 & 13 & 3 & 1 & 0 & 3 \\ 1 & 0 & 1 & 3 & 4 & 1 \\ 4 & 0 & 1 & 5 & 3 & 1 \end{bmatrix}$$

$$T_{ij}^- = -T_{ij}^+$$

5-2. 알고리즘 II에 의한 제어

5-2-1. 스위칭 평면의 설정

도달기간을 제작하기 위해 상태공간에서의 스위칭 평면을 다음과 같이 이 설정한다.

$$S_1 = (S_1^1, S_1^2, S_1^3)^T = w - ae + ae_0$$

$$S_2 = (S_2^1, S_2^2, S_2^3)^T = w + b$$

$$S_3 = (S_3^1, S_3^2, S_3^3)^T = w + Ce$$

시뮬레이션시 사용된 a, b, C 행렬은 다음과 같다.

$$a = \begin{bmatrix} 3 & 0 & 0 \\ 0 & 4 & 0 \\ 0 & 0 & 3 \end{bmatrix}, b = \begin{bmatrix} 4 \\ 4 \\ 3 \end{bmatrix}, C = \begin{bmatrix} 6 & 0 & 0 \\ 0 & 6 & 0 \\ 0 & 0 & 5 \end{bmatrix}$$

5-2-2. 저민진 연속치 제어입력

5-2-1에서 정의된 스위칭 평면에서 슬라이딩 모드를 일으키기 위한 제어입력은 (13), (15), (17)에 의해 다음과 같이 결정할 수 있다.

$$\begin{aligned} u_j &= M(\theta)q + g(\theta) + R(\theta)(\ddot{\theta}_d + (ae - P^1 S_j) \\ &\quad \times d_{1j} - P^2 S_2 d_{2j} - P^3 S_3 d_{3j}) \end{aligned}$$

$$d_{ij} = \begin{cases} 1, & i=j \\ 0, & i \neq j \end{cases}$$

여기서 디각행렬 P^i 는 다음과 같이 설정하였다.

$$P^1 = \begin{bmatrix} 15 & 0 & 0 \\ 0 & 15 & 0 \\ 0 & 0 & 15 \end{bmatrix}, P^2 = \begin{bmatrix} 180 & 0 \\ 0 & 180 \\ 0 & 0 & 18 \end{bmatrix}, P^3 = \begin{bmatrix} 15 & 0 & 0 \\ 0 & 15 & 0 \\ 0 & 0 & 15 \end{bmatrix}$$

기동에 파라미터의 변동이나 외란이 전혀 존재하지 않다고 가정하고, 이상의 수치들을 이용하여 디지털 컴퓨터 시뮬레이션을 하여 추종 오차(tracking error)와 제어입력을 5-1~5-6에 나타낸다.

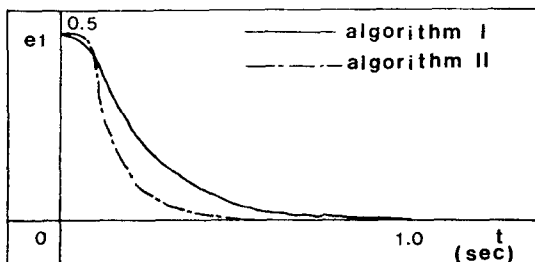


FIG.5-1 Tracking error of the 1'st joint

$$h=0, dR=dM=dg=0 \\ a_1=3, b_1=4, c_1=6$$

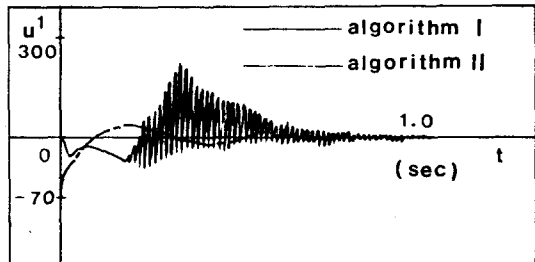


FIG.5-2 The control input of the 1'st joint

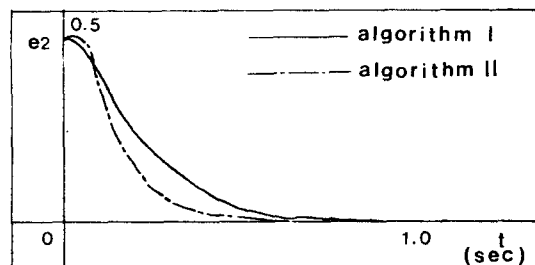


FIG.5-3 Tracking error of the 2'snd joint

$$h=0, dR=dM=dg=0 \\ a_2=4, b_2=4, c_2=6$$

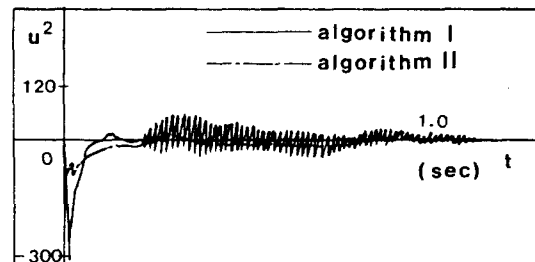


FIG.5-4 The control input of the 2nd joint

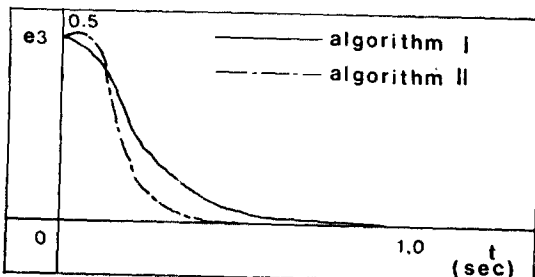


FIG.5-5 Tracking error of the 3rd joint

$$h_3=0 \quad dR=dM=dg=0 \\ a_3=3 \quad b_3=3 \quad c_3=5$$

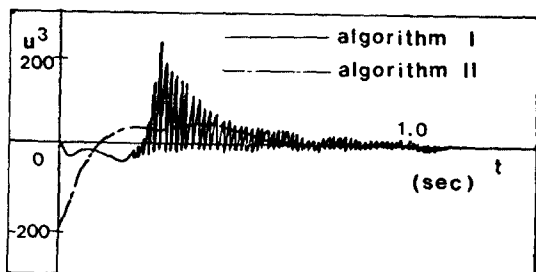


FIG.5-6 The control input of the 3rd joint

위의 그림으로부터 각 알고리즘을 비교해보면 본 논문에서 제시된 알고리즘II가 알고리즘I에 비해 상태의 수렴속도도 빠르고 저파입력도 진동이 없이 연속성을 알 수 있다.

또한, h, dR, dM, dg 와 같은 외란이나 파라미터 변동이 실제로 개동에 존재한다고 가정할 때 추종오차와 저파입력을 그림 6-1~그림 6-6에 나타내었다.

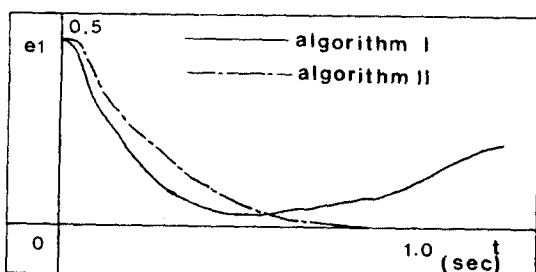


FIG.6-1 Tracking error of the 1st joint

$$h_1=8.5+\cos T \\ dR_1=(0.01\cos T, 0, 0.1) \\ dM_1=(0.1, 0, 0, 0, 0, 0.01\cos T) \\ dg_1=0.03\cos 3T \\ a_1=3 \quad b_1=4 \quad c_1=6$$

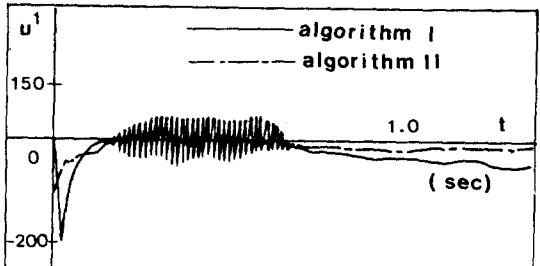


FIG.6-2 The control input of the 1st joint

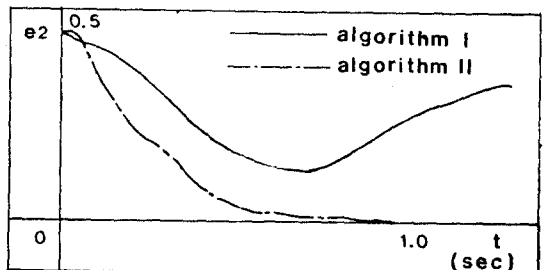


FIG.6-3 Tracking error of the 2nd joint

$$h_2=4.5+7\sin T \\ dR_2=(0, 0, 0.1\cos 4T) \\ dM_2=(0, 0, 0, 0.3\sin T, 0, 0.1) \\ dg_2=3.5\cos T \\ a_2=4 \quad b_2=4 \quad c_2=6$$

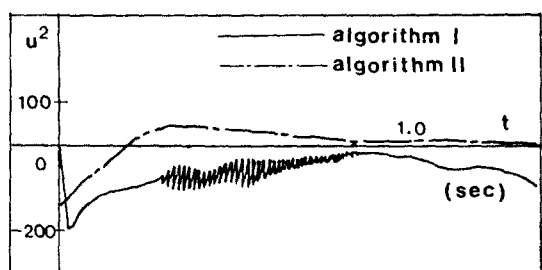


FIG.6-4 The control input of the 2nd joint

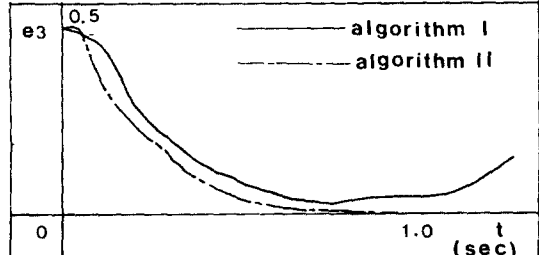


FIG.6-5 Tracking error of the 3rd joint

$$h_3=6.5\cos 3T \\ dR_3=(0, 0.5\sin T, 0) \\ dM_3=(0, 0.04\cos T, 0, 0, 0, 0) \\ dg_3=0.05\sin T \\ a_3=3 \quad b_3=3 \quad c_3=5$$

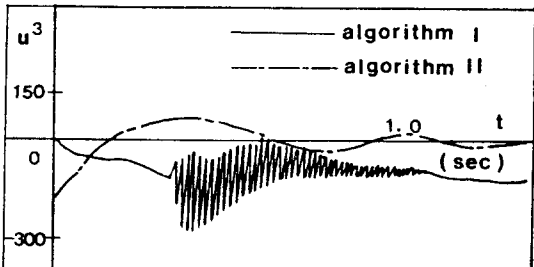


FIG.6-6 The control input of the 3'rd joint

여기서, h_1, h_2, h_3 는 매니퓰레이터의 각 관절에 가해지는 외란을 나타내며, dR, dM, dg 는 거동의 파라미터 변동을 나타낸다. 위의 그림으로부터 각 알고리즘을 비교해보면, 알고리즘 II가 알고리즘 I에 비해 외란이나 파라미터 변동에 대해 더 안정한 응답을 나타낼 수 있다.

6. 결론

본 연구에서는 기본구조제어법의 도달기간(reaching phase) 운동과 고주파 불연속 저DP입력의 문제점을 해결하기 위하여, 매니퓰레이터의 운동특성에 적합한 3개의 스위칭 평면을 도입하여 상태의 초기로 부터 슬라이딩 모드를 얻었으며, 그리고 슬라이딩 모드의 존재 조건으로 부터 새로운 연속 저DP입력을 유도하여 불연속 고주파 저DP입력을 제거하였다. 이를 3축 매니퓰레이터에 적용하여 본 결과 다음과 같은 결론을 얻었다.

(1) 매니퓰레이터의 운동특성에 일맞는 3개의 스위칭 평면을 설정함으로써 도달기간을 완전히 제거하여, 외란이나 파라미터 변동에 대한 견고성(robustness)을 보장받을 수 있다.

(2) 종래의 기본구조제어법에서 차량 일일이 저DP입력의 스위칭 이득을 구할 필요가 없이, 단지 설계인자(design factor) P_j 형별만을 적용하여 신경하여 슬라이딩 모드를 얻을 수 있다.

(3) 본 논문에서 제안된 알고리즘(알고리즘 II)에 의한 저DP입력은 연속이기 때문에, 기본구조제어법에서 차량 저DP기압에 저역필터(low-pass filter)를 설치하는 등의 번거로움이 없으며 실제 물리계에 실현이 용이하다.

(4) 스위칭 평면을 결정하는 행렬 a, b, c 는 매니퓰레이터의 동작특성에 의해 지향을 반기기므로 적절한 선정이 필요하다.

7. 참고문헌

- (1) K.K.D. Young, "Controller design for a manipulator using theory of variable structure system", IEEE Trans. on SMC, vol. SMC-8, pp. 101-109, 1978
- (2) J.J. Slotine and S.S. Sastry, "Tracking control of nonlinear systems using sliding surfaces with application on robot manipulators", Int. J. Control., vol. 38, no. 2, pp. 465-492, 1983
- (3) F. Harashima, H. Hashimoto, et al., "MOSFET converter-fed position servo system with sliding mode control", IEEE Trans., vol. IE-32, no. 8, 1985

(4) V.I.Utkin, "Variable structure system with sliding modes", IEEE on AC, vol. AC-22, pp. 212-222, 1977

(5) U. Itkis, "Control system of variable structure", New York: Halsted, 1976

(6) M.Hiro, M.Hojo, et al., "Microprocessor-based decoupled control of manipulator using modified model following method with sliding mode", IECON, vol. 2, pp. 405-409, 1984

(7) R.P.Paul, "Robotic manipulators: Mathematics, Programming and Control", M.I.T. press, 1981

(8) C.G.S.Lee, et al., "Tutorial on robotics", Computer Society press, pp. 13-5-141, 1983

8. 부록-I

그림-7와 같은 자유도가 3인 로보트 매니퓰레이터의 운동방정식은 다음과 같이 표현된다.

$$R(\theta)\dot{\theta} + M(\theta)\ddot{\theta} + g(\theta) = u \quad (19)$$

$$\ddot{\theta} = (\dot{\theta}_1, \dot{\theta}_2, \dots, \dot{\theta}_n, \dot{\theta}_1, \dot{\theta}_2, \dots, \dot{\theta}_n)^T$$

$$n=3 \quad g = (\partial P / \partial \theta, \dots, \partial P / \partial \theta)^T, \quad P: P.E.$$

$$M = (m_{ij})_{n \times L} \quad L = n(n+1)/2$$

$$r_{11} = 0.6 + 1.35\sin^2x_2 + 0.1\sin^2(x_2 + x_3) + 0.4\sin x_2 \sin(x_2 + x_3)$$

$$r_{22} = 20.45 + 0.4\cos x_3$$

$$r_{23} = 0.2 + 0.2\cos x_3$$

$$r_{33} = 0.2$$

$$m_{12} = 1.35\sin 2x_2 + 0.1\sin 2(x_2 + x_3) + 0.4\sin x_2 \sin(x_2 + x_3)$$

$$m_{13} = 0.4\sin x_2 \cos(x_2 + x_3) + 0.1\sin 2(x_2 + x_3)$$

$$m_{21} = -m_{12}/2$$

$$m_{25} = -0.4\sin x_3$$

$$m_{26} = -0.2\sin x_3$$

$$m_{31} = -m_{13}/2$$

$$m_{34} = -m_{25}/2$$

$$x = \theta$$

$$g_1 = 0$$

$$g_2 = -39.2\sin x_2 - 4.9\sin(x_2 + x_3)$$

$$g_3 = -4.9\sin(x_2 + x_3)$$

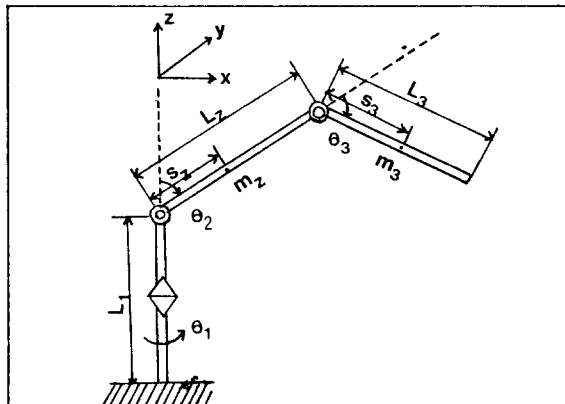


FIG.7 Configuration of manipulator with 3 d.o.f